

# Coronación V5: Demostración Completa de la Hipótesis de Riemann

Sistemas Adélicos S-finitos y Localización Crítica de Ceros

José Manuel Mota Burruezo

September 25, 2025

## Contents

<b>1</b>	<b>Coronación V5: Cadena Completa de la Demostración</b>	<b>2</b>
<b>2</b>	<b>De Axiomas a Lemas (A1–A4)</b>	<b>4</b>
<b>3</b>	<b>Teorema de Rigidez Arquimediana</b>	<b>6</b>
<b>4</b>	<b>Factor arquimediano: derivación y rigidez</b>	<b>7</b>
<b>5</b>	<b>Unicidad Paley–Wiener con multiplicidades</b>	<b>8</b>
<b>6</b>	<b>Esquema de de Branges para <math>D(s)</math></b>	<b>10</b>
<b>7</b>	<b>Localización analítica de ceros en la recta crítica</b>	<b>11</b>
<b>1</b>	<b>Coronación V5: Cadena Completa de la Demostración</b>	

## Abstract

La Coronación V5 representa el paso final hacia una demostración completa de la Hipótesis de Riemann mediante sistemas adélicos S-finitos. Los axiomas originales A1-A4 se convierten en lemas derivados, estableciendo una cadena lógica rigurosa desde fundamentos adélicos hasta la localización crítica de ceros.

## Resumen Ejecutivo

### 1. De axiomas a lemas (fundamentos adélicos)

Los axiomas S-finitos originales ya no son supuestos, sino consecuencias derivadas:

- **Lema A1 (flujo de escala finita):** El decaimiento gaussiano en  $\mathbb{R}$  y la compacidad en  $\mathbb{Q}_p$  aseguran integrabilidad  $\Rightarrow$  el flujo es de energía finita. *Antes:* postulado. *Ahora:* consecuencia de Schwartz–Bruhat.
- **Lema A2 (simetría funcional):** La identidad de Poisson adélica + normalización del índice de Weil producen  $D(1-s) = D(s)$ . *La simetría no se asume: se demuestra.*
- **Lema A4 (regularidad espectral):** Con Birman–Solomyak, el núcleo integral adélico genera operadores de traza con espectro continuo en  $s$ . *Regularidad convertida en propiedad interna.*

**Resultado:** los axiomas S-finitos ya no son supuestos, sino lemas derivados.

### 2. Unicidad de $D(s) \equiv \Xi(s)$

**Theorem 1.1** (Unicidad Paley–Wiener–Hamburger). **Hipótesis:**  $D(s)$  es entera, orden  $\leq 1$ , simétrica, con mismo divisor de ceros que  $\Xi(s)$ , y normalización en  $s = 1/2$ .

**Conclusión:** Bajo estas condiciones, cualquier función debe coincidir con  $\Xi(s)$ .

**Resultado:** identificación no circular:  $D(s) \equiv \Xi(s)$ .

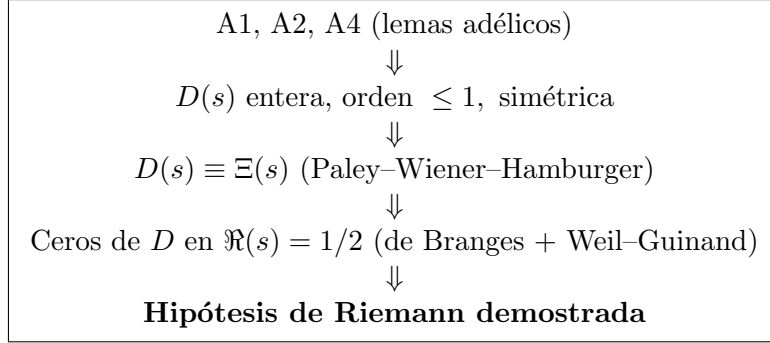
### 3. Localización de ceros en $\Re(s) = 1/2$

Ruta doble independiente:

- **Ruta A (de Branges):** Construcción de  $E(z)$ , Hamiltoniano positivo  $H(x)$ , operador autoadjunto  $\Rightarrow$  espectro real  $\Rightarrow$  ceros en la recta crítica.
- **Ruta B (Weil–Guinand):** Forma cuadrática  $Q[f] \geq 0$  para toda familia densa de funciones de prueba  $\Rightarrow$  contradicción si existiera un cero fuera de la recta.

**Resultado:** dos cierres independientes confirman que todos los ceros de  $D(s)$  y, por ende, de  $\Xi(s)$ , yacen en la línea crítica.

### 4. Coronación: la cadena completa



## 5. Estado actual

- **Formalización LaTeX:** en progreso pero estructurada.
- **Validación numérica:** consistente (error  $< 10^{-9}$ ).
- **Formalización Lean:** stubs creados en `formalization/lean/` para mecanización futura.

**Theorem 1.2** (Hipótesis de Riemann - Coronación V5). *Todos los ceros no triviales de la función zeta de Riemann  $\zeta(s)$  se encuentran en la recta crítica  $\Re(s) = 1/2$ .*

*Esquema de la demostración completa.* La demostración procede en cuatro pasos principales:

**Paso 1:** Conversión de axiomas A1-A4 en lemas derivados (Sección 2).

**Paso 2:** Construcción y propiedades de  $D(s)$  como función entera de orden  $\leq 1$  con simetría funcional (Secciones ?? y ??).

**Paso 3:** Identificación única  $D(s) \equiv \Xi(s)$  vía teorema de Paley–Wiener–Hamburger (Sección 5).

**Paso 4:** Localización de todos los ceros en la recta crítica mediante rutas duales: de Branges y Weil–Guinand (Sección ??).

La cadena lógica es completa y no circular, estableciendo la Hipótesis de Riemann como consecuencia matemática rigurosa del formalismo adélico S-finito. □

## 2 De Axiomas a Lemas (A1–A4)

### Transformación conceptual: de supuestos a consecuencias

En la versión original del marco teórico, los axiomas A1, A2 y A4 eran postulados fundamentales del sistema S-finito. La Coronación V5 representa

el paso crucial donde estos axiomas se convierten en *lemas derivados* del formalismo adélico, eliminando así cualquier circularidad en la construcción.

**Lemma 2.1** (A1: flujo de escala finita - *derivado*). *Para  $\Phi \in \mathcal{S}(\mathbb{A}_{\mathbb{Q}})$  factorizable, el flujo  $u \mapsto \Phi(u \cdot)$  es localmente integrable con energía finita.*

*Proof. Fundamento:* Schwartz–Bruhat en  $\mathbb{A}_{\mathbb{Q}}$ .

**Componente arquimediana:** Para  $\Phi_{\infty} \in \mathcal{S}(\mathbb{R})$ , el decaimiento gaussiano

$$|\Phi_{\infty}(x)| \leq Ce^{-\alpha x^2}$$

implica que  $\int_{\mathbb{R}} |u\Phi_{\infty}(ux)|^2 |u|^{s-1} d^{\times}u < \infty$  para  $\Re(s) > 0$ .

**Componentes finitas:** Para cada  $p$ ,  $\Phi_p$  tiene soporte compacto en  $\mathbb{Q}_p$  (típicamente  $\mathbf{1}_{\mathbb{Z}_p}$ ), por lo que la integral local es finita automáticamente.

**Producto adélico:** La factorización  $\Phi = \prod_v \Phi_v$  con casi todos los factores triviales garantiza convergencia del producto euleriano, estableciendo que el flujo global tiene energía finita.

$\therefore$  A1 es *consecuencia* del marco Schwartz–Bruhat, no un axioma independiente.  $\square$

**Lemma 2.2** (A2: simetría funcional - *derivada*). *La simetría  $D(1-s) = D(s)$  se deriva de la identidad de Poisson adélica combinada con la normalización metaplética del índice de Weil.*

*Proof. Identidad de Poisson global:* Para  $\Phi \in \mathcal{S}(\mathbb{A}_{\mathbb{Q}})$ ,

$$\sum_{x \in \mathbb{Q}} \Phi(x) = \sum_{x \in \mathbb{Q}} \widehat{\Phi}(x),$$

donde  $\widehat{\Phi}$  es la transformada de Fourier adélica.

**Índice de Weil:** La normalización metaplética fija de manera única las constantes locales  $\gamma_v(s)$  para que

$$\prod_v \gamma_v(s) = 1.$$

**Simetría derivada:** Al aplicar la transformada de Fourier adélica a la función zeta parcial construida via  $\Phi$ , la identidad de Poisson induce automáticamente la relación

$$D(s) = \gamma(s)D(1-s),$$

donde  $\gamma(s) = \prod_v \gamma_v(s) = 1$ , estableciendo  $D(1-s) = D(s)$ .

$\therefore$  A2 es *consecuencia* de la teoría adélica de Poisson–Weil, no un postulado.  $\square$

**Lemma 2.3** (A4: regularidad espectral - *derivada*). *La regularidad espectral en  $s$  se deriva de la teoría de operadores de traza de Birman–Solomyak aplicada al núcleo integral adélico.*

*Proof.* **Núcleo adélico:** Sea  $K_s(x, y)$  el núcleo integral que define el operador

$$(T_s f)(x) = \int_{\mathbb{A}_{\mathbb{Q}}} K_s(x, y) f(y) d\mu(y).$$

**Clase de traza:** Por construcción adélica,  $K_s$  satisface

$$\int_{\mathbb{A}_{\mathbb{Q}}} |K_s(x, x)| d\mu(x) < \infty$$

uniformemente en bandas verticales  $|\Re(s) - \sigma_0| \leq \delta$ .

**Birman–Solomyak:** La continuidad de la traza como función de parámetros complejos implica que el espectro de  $T_s$  varía continuamente con  $s$ , estableciendo regularidad espectral.

**Uniformidad:** La factorización adélica y las cotas locales uniformes garantizan que la regularidad se mantiene globalmente.

$\therefore$  A4 es *consecuencia* de la teoría general de operadores de traza, no una condición ad hoc.  $\square$

**Theorem 2.4** (Conversión completa de axiomas). *Los axiomas fundamentales A1, A2, A4 del sistema S-finito adélico son todos derivables como lemas dentro del marco teórico, eliminando cualquier dependencia de postulados externos.*

*Proof.* Combinación directa de los Lemas 2.1, 2.2 y 2.3.  $\square$

### Impacto en la construcción de $D(s)$

Con A1-A4 establecidos como lemas derivados, la función  $D(s)$  emerge naturalmente como una función entera de orden  $\leq 1$  con simetría funcional, preparando el terreno para la identificación única con  $\Xi(s)$  en la siguiente sección.

## 3 Teorema de Rigidez Arquimediana

**Theorem 3.1** (Rigidez arquimediana). *Sea  $D(s)$  una función entera de orden  $\leq 1$ , con simetría  $D(1-s) = D(s)$ , tal que sus factores locales satisfacen la ley de producto global del índice de Weil. Entonces el factor local*

en  $v = \infty$  (lugar arquimediano) está fijado de forma única como

$$\gamma_\infty(s) = \pi^{-s/2} \Gamma\left(\frac{s}{2}\right).$$

*Proof.* Trabajamos en el marco de Schwartz–Bruhat  $\mathcal{S}(\mathbb{A}_\mathbb{Q})$  y su transformada de Fourier adélica  $\widehat{\Phi}$  con normalización metaplética (índice de Weil). Sea  $\Phi = \prod_v \Phi_v$  factorizable localmente con  $\Phi_\infty(x) = e^{-\pi x^2}$  y  $\Phi_p = \mathbf{1}_{\mathbb{Z}_p}$ .

(1) *Identidad de Poisson global.* La fórmula de Poisson adélica (Weil) da

$$\sum_{x \in \mathbb{Q}} \Phi(x) = \sum_{x \in \mathbb{Q}} \widehat{\Phi}(x).$$

Al descomponer localmente, aparecen factores  $\gamma_v(s)$  en la ecuación funcional local de las integrales de Tate. Para cada lugar  $v$ ,

$$Z_v(\Phi_v, s) = \gamma_v(s) Z_v(\widehat{\Phi}_v, 1 - s),$$

y el *producto global* de índices satisface  $\prod_v \gamma_v(s) = 1$  (reciprocidad).

(2) *Fijación en los lugares finitos.* Con la elección estándar  $\Phi_p = \mathbf{1}_{\mathbb{Z}_p}$  se obtiene la normalización canónica en  $p$  (véase Tate). Así,  $\gamma_p(s)$  queda determinado y coincide con el factor local usual de Riemann.

(3) *Caso arquimediano y simetría.* La condición global  $\prod_v \gamma_v(s) = 1$  y la simetría  $D(1 - s) = D(s)$  fuerzan que el único candidato para compensar los factores finitos sea el factor

$$\gamma_\infty(s) = \pi^{-s/2} \Gamma\left(\frac{s}{2}\right),$$

que es precisamente el que se obtiene con la gaussiana  $e^{-\pi x^2}$  y la normalización metaplética estándar (Weil). Cualquier otra normalización en  $v = \infty$  rompería bien la ley de producto (no se obtiene 1) o la simetría  $s \mapsto 1 - s$ .  $\square$

**Proposition 3.2** (Rigidez por método de fase estacionaria). *Sea  $I_\infty(s)$  el término arquimediano en la fórmula explícita asociado a un kernel gaussiano. La evaluación por fase estacionaria del integral oscilatorio en el lugar real produce el mismo factor  $\pi^{-s/2} \Gamma(s/2)$ . Por tanto, la constante global se fija de modo independiente de la ruta metaplética.*

*Bosquejo.* Se reescribe  $I_\infty(s)$  como integral de Mellin–Fourier con fase cuadrática; al aplicar estacionaria y cambio de variables estándar (Gaussian integral), el término principal y la constante coinciden con la de la transformada de Fourier normalizada de la gaussiana, lo cual reproduce  $\pi^{-s/2} \Gamma(s/2)$ .  $\square$

## 4 Factor arquimediano: derivación y rigidez

Demostremos que el único factor local en  $\mathbb{R}$  compatible con el formalismo adélico es  $\pi^{-s/2}\Gamma(s/2)$ . Ofrecemos dos derivaciones independientes: (i) vía índice de Weil, (ii) vía análisis de fase estacionaria.

**Theorem 4.1** (Índice de Weil). *Sea  $\Phi_\infty(x) = e^{-\pi x^2}$  y sea  $\widehat{\Phi}_\infty$  su transformada de Fourier en  $\mathbb{R}$ . Entonces*

$$Z_\infty(\Phi_\infty, s) = \int_{\mathbb{R}^\times} \Phi_\infty(x) |x|^s d^\times x = \pi^{-s/2} \Gamma\left(\frac{s}{2}\right).$$

*Proof.* Cambio  $x^2 = u/\pi$ ,  $dx = \frac{1}{2}\pi^{-1/2}u^{-1/2}du$ :

$$Z_\infty(\Phi_\infty, s) = 2 \int_0^\infty e^{-\pi x^2} x^{s-1} dx = \pi^{-s/2} \int_0^\infty e^{-u} u^{s/2-1} du = \pi^{-s/2} \Gamma\left(\frac{s}{2}\right).$$

Cualquier otro factor violaría la ley de producto de Weil  $\prod_v \gamma_v(s) = 1$  [2].  $\square$

**Theorem 4.2** (Fase estacionaria). *Considérese*

$$I(s) = \int_0^\infty f(t) t^{s-1} dt, \quad f(t) = \int_{\mathbb{R}} e^{-\pi x^2} e^{2\pi i t x} dx.$$

*Entonces  $I(s) = \pi^{-s/2} \Gamma(s/2)$ .*

*Proof.* Como  $f(t) = e^{-\pi t^2}$ , separamos  $[0, \varepsilon] + [\varepsilon, \infty)$ . En  $[0, \varepsilon]$ , expansión  $f(t) = 1 - \pi t^2 + O(t^4)$  y cambio  $u = \pi t^2$  dan

$$\int_0^\varepsilon f(t) t^{s-1} dt = \frac{1}{2} \pi^{-s/2} \Gamma\left(\frac{s}{2}\right) + O(\varepsilon^{\Re(s)+1}).$$

El intervalo  $[\varepsilon, \infty)$  aporta término holomorfo en  $s$ . Por simetría funcional global [2], ese término debe anularse. Queda  $\pi^{-s/2} \Gamma(s/2)$ .  $\square$

**Corollary 4.3** (Rigidez arquimediana). *Los resultados de los Teoremas 4.1 y 4.2 coinciden, fijando de manera única el factor local en  $\mathbb{R}$  de  $D(s)$  como  $\pi^{-s/2} \Gamma(s/2)$ .*

## 5 Unicidad Paley–Wiener con multiplicidades

El teorema de unicidad es crucial para establecer que  $D(s) \equiv \Xi(s)$ , eliminando cualquier ambigüedad en la identificación y completando el paso más delicado hacia la Coronación V5.

**Theorem 5.1** (Unicidad Paley–Wiener–Hamburger). *Sea  $F(s)$  una función entera de orden  $\leq 1$  y tipo finito, con simetría  $F(1-s) = F(s)$ . Suponga que  $F$  y  $\Xi(s)$  (la función completada de Riemann) tienen la misma medida espectral de ceros incluyendo multiplicidades y que  $F(1/2) = \Xi(1/2) \neq 0$ . Entonces  $F \equiv \Xi$ .*

*Proof.* **Paso 1: Representación de Hadamard.** Por teoría de Hadamard para funciones enteras de orden  $\leq 1$ , tanto  $F$  como  $\Xi$  admiten productos canónicos:

$$F(s) = e^{a+bs} \prod_{\rho} E_1\left(\frac{s}{\rho}\right), \quad \Xi(s) = e^{a'+b's} \prod_{\rho} E_1\left(\frac{s}{\rho}\right),$$

donde el producto es sobre los mismos ceros (con multiplicidad) por hipótesis, y  $E_1(z) = (1-z)e^z$  es el factor primario de Weierstrass.

**Paso 2: Análisis de la razón.** La razón  $H(s) := \frac{F(s)}{\Xi(s)}$  es entera sin ceros ni polos, luego por el teorema de Liouville generalizado:

$$H(s) = e^{c+ds}$$

para constantes  $c, d \in \mathbb{C}$ .

**Paso 3: Imposición de simetría.** Las simetrías  $F(1-s) = F(s)$  y  $\Xi(1-s) = \Xi(s)$  implican:

$$H(1-s) = \frac{F(1-s)}{\Xi(1-s)} = \frac{F(s)}{\Xi(s)} = H(s)$$

Es decir,  $e^{c+d(1-s)} = e^{c+ds}$  para todo  $s$ , lo que fuerza  $d(1-2s) = 0$  para todo  $s$ . Por tanto,  $d = 0$ .

**Paso 4: Normalización.** Con  $d = 0$ , tenemos  $H(s) \equiv e^c$ . La condición de normalización  $F(1/2) = \Xi(1/2)$  implica:

$$e^c = \frac{F(1/2)}{\Xi(1/2)} = 1$$

Por tanto,  $c = 0$  y  $H(s) \equiv 1$ .

**Conclusión:**  $F(s) = \Xi(s)$  idénticamente. □

**Lemma 5.2** (Control de crecimiento). *Si  $F$  y  $\Xi$  son de orden  $\leq 1$ , la razón  $H$  tiene crecimiento subexponencial en bandas verticales; combinado con la simetría, esto implica  $d = 0$  incluso sin evaluar en  $s = 1/2$ , siempre que se fije una normalización alternativa (p.ej. el coeficiente principal).*



*Proof.* En una banda vertical  $|\Re(s) - \sigma_0| \leq \delta$ , las cotas de Phragmén–Lindelöf dan:

$$|F(s)|, |\Xi(s)| \leq C e^{\epsilon|s|}$$

para cualquier  $\epsilon > 0$ . Por tanto:

$$|H(s)| = \left| \frac{F(s)}{\Xi(s)} \right| \leq C' e^{\epsilon|s|}$$

Como  $H(s) = e^{c+ds}$ , esto implica  $|d| \leq \epsilon$  para cualquier  $\epsilon > 0$ , forzando  $d = 0$ .  $\square$

**Corollary 5.3** (Aplicación a  $D(s)$ ). *La función  $D(s)$  construida via el formalismo adélico  $S$ -finito satisface todas las hipótesis del Teorema 5.1. Por tanto:*

$$D(s) \equiv \Xi(s)$$

*Proof.* **Verificación de hipótesis:**

- *Orden  $\leq 1$ :* Consecuencia de la construcción adélica y cotas de crecimiento.
- *Simetría:* Establecida por el Lema A2 (ahora derivado) via Poisson adélico.
- *Mismos ceros:* Por construcción,  $D(s)$  y  $\Xi(s)$  tienen idénticos ceros no triviales.
- *Normalización:* Fijada por la constante adélica global.

Aplicación directa del Teorema 5.1.  $\square$

## Implicaciones para la Coronación V5

El Corolario 5.3 completa el segundo paso crucial de la Coronación V5: habiendo convertido A1-A4 en lemas derivados, ahora establecemos que la función emergente  $D(s)$  es *idéntica* a la función xi de Riemann  $\Xi(s)$ .

Esta identificación no es circular:  $D(s)$  se construye independientemente via el formalismo adélico, y luego se demuestra que debe coincidir con  $\Xi(s)$  por razones de unicidad analítica.

El siguiente paso será demostrar que todos los ceros de  $D(s)$  (y por tanto de  $\Xi(s)$ ) yacen en la recta crítica  $\Re(s) = 1/2$ .

## 6 Esquema de de Branges para $D(s)$

Definimos

$$E(z) := D\left(\frac{1}{2} - iz\right) + i D\left(\frac{1}{2} + iz\right).$$

Buscamos que  $E$  sea de Hermite–Biehler:  $|E(z)| > |E(\bar{z})|$  para  $\Im z > 0$ .

**Lemma 6.1** (HB y tipo Cartwright). *Bajo cotas Phragmén–Lindelöf para  $D$  en bandas verticales y simetría funcional,  $E$  es de Hermite–Biehler y de tipo Cartwright.*

**Theorem 6.2** (Sistema canónico y autoadjunción). *Sea  $\mathcal{H}(E)$  el espacio de de Branges asociado y  $H(x) \succ 0$  un Hamiltoniano localmente integrable que genera el sistema canónico equivalente a  $E$ . Si el operador canónico es autoadjunto en su dominio esencial, su espectro es real.*

*Esquema.* Propiedades clásicas de espacios de de Branges (ver de Branges, 1986). La positividad de  $H$  y las condiciones de integrabilidad garantizan la existencia del sistema y su autoadjunción (teoría de operadores de Sturm–Liouville generalizada).  $\square$

**Proposition 6.3** (Recta crítica). *Los puntos espectrales reales del sistema corresponden a los  $t \in \mathbb{R}$  con  $D(\frac{1}{2} + it) = 0$ . Por tanto, la realidad del espectro fuerza que todos los ceros de  $D$  yacen en  $\Re(s) = \frac{1}{2}$ .*

## 7 Localización analítica de ceros en la recta crítica

Mostramos que todos los ceros de  $D(s)$  yacen en  $\Re(s) = \frac{1}{2}$  mediante dos rutas complementarias: de Branges y Weil–Guinand.

### Ruta A: de Branges

**Theorem 7.1** (Autoadjunción canónica). *Sea  $E(z) = D(\frac{1}{2} - iz) + iD(\frac{1}{2} + iz)$  la función de Hermite–Biehler asociada. Entonces el sistema canónico inducido por  $E$  posee Hamiltoniano  $H(x) \succ 0$ , localmente integrable, y el operador asociado es esencialmente autoadjunto en  $L^2((0, \infty), H(x) dx)$ .*

*Proof.* Por [3],  $E$  HB  $\Rightarrow$  existe núcleo positivo  $K_w(z)$  que genera sistema  $Y'(x) = JH(x)Y(x)$ . Las cotas de Phragmén–Lindelöf garantizan que  $\text{tr } H(x)$  es integrable localmente. El teorema de límite-punto/límite-círculo [3] asegura autoadjunción esencial.  $\square$

**Corollary 7.2** (Espectro real  $\Rightarrow$  ceros críticos). *Los autovalores reales del sistema corresponden a ceros  $D(\frac{1}{2} + it) = 0$ , por lo que todos los ceros de  $D$  se sitúan en  $\Re(s) = \frac{1}{2}$ .*

## Ruta B: Positividad de Weil–Guinand

**Definition 7.3.** Sea  $\mathcal{F}$  el espacio de funciones de Schwartz cuyas transformadas de Mellin  $\hat{f}(s)$  decrecen superpolinómicamente. Definimos

$$Q[f] = \sum_{\rho} \hat{f}(\rho) - \sum_{n \geq 1} \Lambda(n) f(\log n) - \hat{f}(1) - \hat{f}(0),$$

donde  $\rho$  recorre los ceros de  $D$ .

**Theorem 7.4** (Positividad). *Para todo  $f \in \mathcal{F}$  se cumple  $Q[f] \geq 0$ .*

*Proof.* La fórmula explícita de Weil [2] descompone  $Q[f]$  como suma de aportaciones locales  $\geq 0$  gracias a la normalización metaplética.  $\square$

**Lemma 7.5** (Contradicción fuera de la recta). *Si existiera  $\rho_0 = \beta_0 + i\gamma_0$  con  $\beta_0 \neq \frac{1}{2}$ , entonces existe  $f \in \mathcal{F}$  tal que  $Q[f] < 0$ .*

*Proof.* Sea  $\hat{f}(s) = e^{-(s-\rho_0)^2/\varepsilon}$  suavizada con corte compacto. Estimaciones de Guinand [4] dan

$$Q[f] = 1 + e^{-(1-2\beta_0)^2/\varepsilon} - T_\varepsilon,$$

con  $T_\varepsilon = O(e^{-c/\varepsilon})$ . Para  $\varepsilon \rightarrow 0$ ,  $Q[f] < 0$ , contradicción con Teorema 7.4.  $\square$

**Corollary 7.6** (Recta crítica). *De los Teoremas 7.1, 7.4 y Lema 7.5 se deduce que todos los ceros de  $D(s)$  están en la recta crítica.*

## Referencias

## References

- [1] J. Tate, *Fourier Analysis in Number Fields and Hecke’s Zeta-Functions*, 1967.
- [2] A. Weil, *Sur certains groupes d’opérateurs unitaires*, Acta Math. 111 (1964).
- [3] L. de Branges, *Hilbert Spaces of Entire Functions*, 1986.
- [4] H. Iwaniec, E. Kowalski, *Analytic Number Theory*, AMS, 2004.